

= 2π. В этом случае получаем

$$\sigma_{\theta} = \frac{WE\alpha(1-p^2)}{4\pi\lambda}, \quad (11)$$

где $W = 2\pi a q$ — величина суммарной интенсивности.

Установим закон изменения напряжений вдоль границы пластинки, которая находится под влиянием источников тепла постоянной интенсивности q , распределенных по отрезку радиуса от $r = a_1$ до $r = a_2$. Угол между осью x и радиусом обозначим через β (рисунок, θ). Для решения поставленной задачи используем функцию Грина. После выполнения интегрирования по переменной a в пределах от a_1 до a_2 формула для напряжения σ_{θ} принимает вид

$$H\sigma_{\alpha} = C + M \cos \gamma + N \cos^2 \gamma - 2 \sin \gamma \{ \sin 2\gamma [\ln \Psi(p_2, \beta, \theta) - \ln \Psi(p_1, \beta, \theta)] + 2 \cos 2\gamma [\arctg \Omega(p_2, \beta, \theta) - \arctg \Omega(p_1, \beta, \theta)] \},$$

где

$$H = \frac{4\pi\lambda}{qE\alpha R}; \quad \gamma = \theta - \beta; \quad C = \frac{1}{3}(p_2^3 - p_1^3) - 3(p_2 - p_1);$$

$$M = p_2^2 - p_1^2; \quad N = 4(p_2 - p_1); \quad \Psi(p_i, \beta, \theta) = 1 + p_i^2 - 2p_i \cos \gamma;$$

$$p_i = \frac{a_i}{R}; \quad \Omega(p_i, \beta, \theta) = \frac{p_i - \cos \gamma}{\sin \gamma} \quad (i = 1, 2).$$

Рассмотрим другой частный случай, когда источники тепла равномерно распределены по кольцу с внутренним радиусом a_1 и наружным a_2 . Интенсивность источников тепла постоянна и равна q . Закон изменения напряжения вдоль контура пластинки описывается формулой

$$\sigma_{\theta} = WE\alpha(2 - p_2^2 - p_1^2)/8\pi\lambda,$$

где $W = \pi q(a_2^2 - a_1^2)$ — величина суммарной интенсивности.

Заметим, если источник тепла помещен в центре пластинки, то решение может быть получено путем предельного перехода ($a \rightarrow 0$), выполненного по одной из формул (8) — (11). Напряжение σ_{θ} тогда определяется так:

$$\sigma_{\theta} = \frac{WE\alpha}{4\pi\lambda}.$$

Эта формула совпадает с решением, найденным в работах [1, 3] иным способом.

ЛИТЕРАТУРА

1. Бажанов В. Л. и др. Расчет конструкций на тепловые воздействия. М., «Машиностроение», 1969. 600 с.
2. Градштейн И. С., Рыжик И. М. Таблицы интегралов, сумм, рядов и произведений. М., Физматгиз, 1962. 1100 с.
3. Мелан Э., Паркус Г. Температурные напряжения, вызываемые стационарными температурными полями. М., Физматгиз, 1958. 168 с.
4. Уздалев А. И. Некоторые задачи термоупругости анизотропного тела. Саратов, Изд-во Саратов. ун-та, 1967. 168 с.

Саратовский политехнический институт

Поступила в редколлегию
25.VI 1975 г.

УДК 539.377

И. И. Федик, В. И. Кожуховский, В. С. Егоров

ТЕРМОУПРУГИЕ НАПРЯЖЕНИЯ В КРУГОВОМ СЕКТОРЕ

Задача термоупругости для кругового сектора конечного радиуса рассматривалась в работах [4, 7, 8] с использованием методов ортогональных полиномов или тригонометрических рядов. Общим недостатком проведенных

исследований, за исключением частного результата, приведенного в работе [7], является отсутствие количественных данных, характеризующих величину и распределение термоупругих напряжений. В настоящей работе приведен анализ напряженного состояния в секторе, подвергнутом неравномерному распределению температуры. Решение первой краевой задачи для бигармонического уравнения построено на основе вариационного процесса Ритца с использованием ортогонализации. Полученные данные для некоторых частных значений угла раствора сектора сопоставлены с результатами расчета термоупругих напряжений в диске с краевой трещиной.

Пусть область D — сектор радиуса R с центральным углом 2β , в котором осуществляется распределение температуры $T(r, \theta)$. Предположим, что материал однороден и изотропен, а его свойства не зависят от температуры. Рассмотрим случай плоского напряженного состояния, имеющего место в тонкой пластинке. Термоупругие напряжения в секторе определяются зависимостями [1]

$$\sigma_r = \frac{1}{r} \frac{\partial F}{\partial r} + \frac{1}{r^2} \frac{\partial^2 F}{\partial \theta^2}, \quad \sigma_\theta = \frac{\partial^2 F}{\partial r^2}, \quad \tau_{r\theta} = -\frac{\partial}{\partial r} \left(\frac{1}{r} \frac{\partial F}{\partial \theta} \right), \quad (1)$$

причем функция напряжений F удовлетворяет бигармоническому уравнению

$$\Delta^2 F = -\alpha E \Delta T, \quad 0 \leq r \leq R, \quad -\beta \leq \theta \leq \beta. \quad (2)$$

Здесь $\Delta = \frac{\partial^2}{\partial r^2} + \frac{1}{r} \frac{\partial}{\partial r} + \frac{1}{r^2} \frac{\partial^2}{\partial \theta^2}$ — оператор Лапласа. Граничные условия для сектора, контур Γ которого свободен от внешних нагрузок, имеют вид

$$F = \frac{\partial F}{\partial n} = 0, \quad (3)$$

где n означает направление внешней нормали к контуру области D .

Поставленная задача эквивалентна отысканию минимума функционала [3]

$$J(F) = \iint_D [(\Delta F)^2 + 2\alpha E F \Delta T] ds. \quad (4)$$

В соответствии с вариационным процессом Ритца оптимальный элемент построим в виде ряда

$$F_* = \sum_{n=0}^{\infty} c_n q_n, \quad (5)$$

где $\{q_n\}$ — полная ортонормированная система в энергетическом пространстве, а

$$c_n = -(\alpha E \Delta T, q_n), \quad (6)$$

причем $(\varphi, \psi) = \iint_D \varphi \psi ds$.

Энергетическое пространство бигармонического оператора состоит из непрерывных и четырежды непрерывно дифференцируемых функций в замкнутой области $\bar{D} = D + \Gamma$, удовлетворяющих условиям (3). Выражение скалярного произведения в этом пространстве имеет вид

$$[\varphi, \psi] = \iint_D \Delta \varphi \Delta \psi ds. \quad (7)$$

Заметим, что минимальное значение функционала (4) определяется энергетической нормой решения F_* уравнения (2) с условиями (3):

$$\min J(F) = -[F_*, F_*] = -\sum_{n=0}^{\infty} c_n^2. \quad (8)$$

Ортонормированную систему получим из полной последовательности линейно независимых элементов $f_0, f_1, \dots, f_n, \dots$, используя процесс ортогонализации Э. Шмидта. В работах [2, 6] отмечено, что этот процесс достаточно трудоемкий при практической реализации. Для уменьшения трудоемкости воспользуемся методом квадратного корня (см., например, [6])

$$q_n = \frac{1}{\beta_{nn}} \left(f_n - \sum_{i=0}^{n-1} \beta_{ni} q_i \right), \quad (9)$$

$$\beta_{nn} = \sqrt{[f_n, f_n] - \sum_{i=0}^{n-1} \beta_{ni}^2}, \quad (10)$$

$$\beta_{ni} = \frac{1}{\beta_{nn}} \left([f_n, f_i] - \sum_{j=0}^{i-1} \beta_{nj} \beta_{ij} \right), \quad n = 0, 1, \dots; \quad i = 0, 1, \dots, n. \quad (11)$$

Значение суммы принимается равным нулю, если верхний предел меньше нижнего. Для определения коэффициентов c_n получим формулу

$$c_n = -\frac{1}{\beta_{nn}} \left[(\alpha E \Delta T, f_n) + \sum_{i=0}^{n-1} \beta_{ni} c_i \right], \quad n = 0, 1, \dots \quad (12)$$

Данный алгоритм ортогонализации и определения минимума функционала (4) выполнен в виде стандартной программы для ЭВМ М-222, составленной М. А. Мосейчук.

В качестве примера рассмотрим одномерное распределение температуры

$$T = T_0 + (T_R - T_0) \left(\frac{r}{R} \right)^2, \quad (13)$$

где T_0, T_R — температура в вершине сектора и на его криволинейной границе. Этот случай соответствует, например, стационарному распределению температуры в секторе, который нагревается внутренними источниками тепла плотностью $q_0 = \text{const}$ и охлаждается по криволинейному участку боковой поверхности путем теплообмена с окружающей средой по закону Ньютона. Прямолинейные грани боковой поверхности и торцы предполагаются теплоизолированными. Последовательность $\{f_n\}$ имеет следующий вид:

$$\Phi_0 \Psi_0, \quad \Phi_1 \Psi_0, \quad \Phi_0 \Psi_1, \quad \Phi_2 \Psi_0, \quad \Phi_1 \Psi_1, \quad \Phi_0 \Psi_2, \dots, \quad (14)$$

где

$$\begin{aligned} \Phi_i(r) &= \left(\frac{r}{R} \right)^{i+2-\lambda} \left[1 - \left(\frac{r}{R} \right)^2 \right]^{\frac{\lambda}{2}}; \\ \Psi_j(\theta) &= \theta^{2j} (\beta^2 - \theta^2)^2, \quad i, j = 0, 1, \dots \end{aligned} \quad (15)$$

При этом параметр λ , введенный для того, чтобы учесть возможность появления сингулярных решений, находится из условия минимума функционала (4).

В таблице приведены значения λ для некоторых углов β . Различие λ и λ_B при $\frac{\pi}{2} \leq \beta \leq \pi$ не превосходит 2% и является, по-видимому, следствием того, что при расчете энергетической нормы учитывалось конечное число членов ряда (8), принятое равным 44. Заметное отличие λ и λ_B при $0 < \beta < \frac{\pi}{2}$ объясняется, вероятно, влиянием границы $r = R$ на распределение напряжений вблизи вершины сектора (в работе [10] рассмотрен сектор бесконеч-

Параметр	β , град			
	28,6	90	140	180
λ	-1,75	0	0,465	0,489
λ_B	-3,1	0	0,47	0,5

Примечание. Значение λ_B взято из работы [9].

ного радиуса). Учитывая соотношения (15), легко заметить с помощью соотношений (14), (9), (5), (1), что при $0 < \beta < \frac{\pi}{2}$ ($\lambda < 0$) напряжения в вершине сектора равны нулю, при $\beta = \frac{\pi}{2}$ (полукруг, $\lambda = 0$) они конечны, а при $\frac{\pi}{2} < \beta \leq \pi$ ($\lambda > 0$) имеют особенность $\sim r^{-\lambda}$. В последнем случае граничные условия на участке $r = R$, очевидно, не оказывают влияния на асимптотику решения при $r \rightarrow 0$.

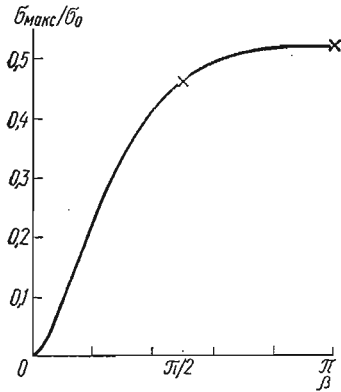


Рис. 1

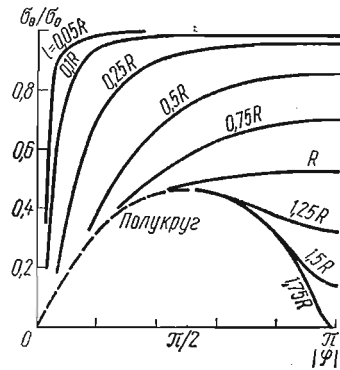


Рис. 2

На рис. 1 показана зависимость от β максимальных окружных напряжений σ_{\max} на контуре $r = R$, возникающих в точке $\theta = 0$ ($\sigma_0 = \alpha E \frac{T_0 - T_R}{2}$ — напряжение σ_0 на периферии сплошного диска при температурном поле (13)).

Полученные данные для $\beta = \pi$ и $\beta = \frac{\pi}{2}$ сравнивали с результатами расчета термоупругих напряжений в диске с радиальной краевой трещиной длиной $l = R$ и $l \rightarrow 2R$ (показаны на рис. 1 крестиками), выполненными по методике Либаккого [5] для $\sigma_0 > 0$. Напряжение на контуре диска с трещиной, расположенной на оси Ox , определяли из выражения

$$\sigma_\theta = \frac{E}{2\pi} \int_L \left[t + \cos \varphi + \frac{4t \sin^2 \varphi (t \cos \varphi - 1)}{(1 + t^2 - 2t \cos \varphi)^2} \right] \mu(t) dt + \sigma_0, \quad (16)$$

где L — отрезок $[t_0, 1]$, $t_0 = 1 - \frac{l}{R}$; φ — полярный угол, отсчитываемый от оси Ox (начало координат в центре диска); $\mu(t)$ представляет собой скачок производной нормального перемещения на верхнем и нижнем берегах разреза:

$$\frac{\partial V^+}{\partial x} - \frac{\partial V^-}{\partial x} = \mu(t), \quad t \in L. \quad (17)$$

Для определения $\mu(t)$ имеем сингулярное интегральное уравнение

$$\frac{E}{4\pi} \int_L K(x, t) \mu(t) dt + \frac{\sigma_0}{2} (3x^2 - 1) = 0, \quad x \in L, \quad (18)$$

где

$$K(x, t) = \frac{1}{t-x} + \frac{(1+x^2)(1+xt)}{x^3} + \frac{x}{1-xt} - \frac{(1-x^2)(2+x^2)}{x^3(1-xt)^2} + \frac{(1-x^2)^2}{x^3(1-xt)^3}. \quad (19)$$

В уравнении (18) член $\frac{\sigma_0}{2} (3x^2 - 1)$ представляет собой нормальное напряжение σ_θ в сплошном диске при температурном поле (13). Переменные x, t в выражениях (16) — (19) безразмерны (в долях R).

Приближенное решение уравнения (18) записываем в виде

$$\mu(t) = \frac{4\pi\sigma_0}{E} \left(\frac{c}{\sqrt{t-t_0}} + \sqrt{t-t_0} \sum_{n=0}^m a_n t^n \right). \quad (20)$$

Коэффициенты $c_0, a_0, a_1, \dots, a_m$ находим, используя метод коллокаций таким образом, чтобы уравнение (18) удовлетворялось в точках, равномерно распределенных по отрезку $[t_0, 1]$:

$$x_k = t_0 + \frac{1-t_0}{1+m} k, \quad k = 0, 1, \dots, m+1. \quad (21)$$

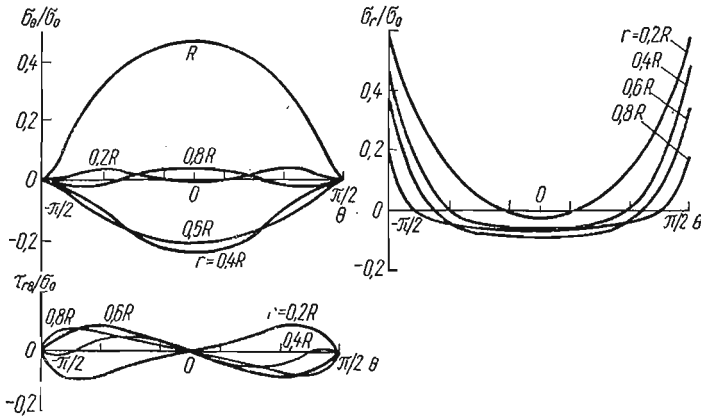


Рис. 3

Точность результатов зависит главным образом от величины m . Вычисления показывают, что для определения коэффициента c с погрешностью не более 1% необходимо увеличение m от $m = 3$ при $l \leq 0,9R$ до $m \sim 20$ при $l \sim 1,75R$.

Интересно проследить за изменением напряжений на контуре диска при увеличении длины трещины (рис. 2). Наличие трещины длиной менее $0,3R$ практически не сказывается на величине максимальных напряжений на контуре (уменьшает их по сравнению со сплошным диском не более чем на 5%). Влияние такой трещины существенно лишь в секторе $0 \leq |\varphi| \leq \frac{\pi}{2}$. Трещина большей длины заметно изменяет напряженное состояние во всем объеме диска. Уровень максимальных напряжений постепенно снижается по мере увеличения длины трещины в промежутке $0 < l \leq 1,2R$

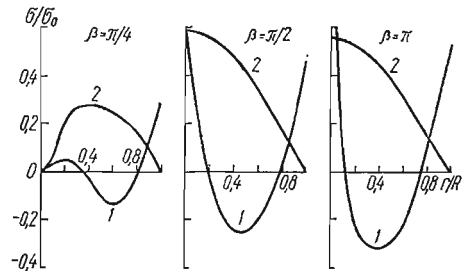


Рис. 4

и в дальнейшем сохраняется неизменным, составляя примерно $0,47\sigma_0$. Точка, где действуют напряжения σ_{\max} , при $l \leq R$ лежит в конце диаметра, проходящего через линию трещины, а при $l > R$ резко смещается в положение конца диаметра, перпендикулярного ей. При $l \geq 1,75R$ происходит стабилизация напряженного состояния, заключающаяся в том, что распределение напряжений, за исключением небольшой области вблизи вершины трещины, перестает зависеть от ее длины, совпадая с напряженным состоянием в полукруге. Заметим, что стабилизация напряжений в области $0 \leq |\varphi| \leq \frac{\pi}{2}$ наступает значительно раньше, уже при $l \sim 1,25R$.

Эпюры напряжений в полукруге (рис. 3), полученные предельным переходом $l \rightarrow 2R$, практически (различие не превышает 1,5%) совпадают с

рассчитанными на основе рассмотренного выше вариационного процесса Ритца. Характерной особенностью распределения круговых напряжений в полукруге по сравнению со сплошным диском является смещение координаты нейтральной оси по направлению к контуру (с $0,59R$ до $0,77R$). Наблюдается также появление радиальных напряжений на прямолинейных участках боковой поверхности (того же знака, что и σ_0), величина которых несколько превышает уровень σ_{\max} на криволинейной границе. Величина касательных напряжений не превосходит $0,1\sigma_0$.

На рис. 4 показано изменение напряжений σ_θ вдоль луча $\theta = 0$ (кривая 1) и напряжений σ_r вдоль лучей $\theta = \pm \beta$ (кривые 2) для некоторых значений β . Эти графики дают представление об изменении уровня максимальных напряжений в секторе при увеличении центрального угла 2β .

В заключение отметим, что результаты, приведенные на рис. 1, 3, 4, остаются в силе для более общего случая распределения температуры, чем описываемое выражением (13). А именно, они справедливы, если температура удовлетворяет уравнению

$$\Delta T = Q = \text{const} \quad (22)$$

при произвольных граничных условиях. В этом случае параметр σ_0 определяется выражением

$$\sigma_0 = \alpha E \frac{QR^2}{8}.$$

ЛИТЕРАТУРА

1. Боли Б., Уэйнер Дж. Теория температурных напряжений. М., «Мир», 1964. 517 с.
2. Гавурин М. К. Лекции по методам вычислений. М., «Наука», 1971. 248 с.
3. Канторович Л. В., Крылов В. И. Приближенные методы высшего анализа. М., Гостехиздат, 1952. 695 с.
4. Лабазин В. Г. К вопросу о бигармонической задаче для кругового сектора.— Зап. Ленингр. горн. ин-та, 1974, 52, № 3, с. 69—72.
5. Либакцкий Л. Л. Всестороннее растяжение кругового диска с внешней радиальной трещиной.— ФХММ, 1969, 5, № 6, с. 758—760.
6. Михлин С. Г. Вариационные методы в математической физике. М., «Наука», 1970. 512 с.
7. Фаддеев Д. К., Фаддеева В. Н. Вычислительные методы линейной алгебры. М., Физматгиз, 1963. 734 с.
8. Hanson K. L., Horvay G. Thermal Stresses in a Sector Prism.— In: Proc. Third US Nat. Congr. Appl. Mech., 1958, p. 313—322.
9. Horvay G., Hanson K. L. The Sector Problems.— J. Appl. Mech., 1957, 24, N 4, p. 574—581.
10. Williams M. L. Stress Singularities Resulting from Various Boundary Conditions in Angular corners of Plates in Extension.— J. Appl. Mech., 1952, 19, N 4, p. 526—528.

г. Москва

Поступила в редколлегию
15.XII 1975 г.

УДК 62—50.5

П. М. Сенник, Б. И. Сокил

ОБ ОПРЕДЕЛЕНИИ ПАРАМЕТРОВ НЕЛИНЕЙНОЙ КОЛЕБАТЕЛЬНОЙ СИСТЕМЫ ПО АМПЛИТУДНО-ЧАСТОТНОЙ ХАРАКТЕРИСТИКЕ

Рассмотрим колебательную систему с одной степенью свободы, движение которой описывается автономными уравнениями:

$$\begin{aligned} \dot{x} + \beta y^n &= \varepsilon F(x, y, \varepsilon) + \varepsilon \sum_{k=1}^N c_k P_k(x, y), \\ \dot{y} - \alpha x^m &= \varepsilon G(x, y, \varepsilon) + \varepsilon \sum_{l=1}^M d_l R_l(x, y), \end{aligned} \quad (1)$$